

лографе типа И2-7. Времена нарастания и спада импульсов при необходимости могут быть доведены до 2 нс, так как широкополосность лампы 150 МГц.

Авторы выражают благодарность канд. техн. наук А. Г. Берковскому, чл.-корр. АН СССР Ю. Е. Нестерихину, канд. физ.-матем. наук А. М. Искольдскому за постановку задачи и внимание к работе.

Поступило в редакцию 2 июля 1974 г.;
окончательный вариант — 3 сентября 1974 г.

УДК 681.34

В. Б. СМОЛОВ

(Ленинград)

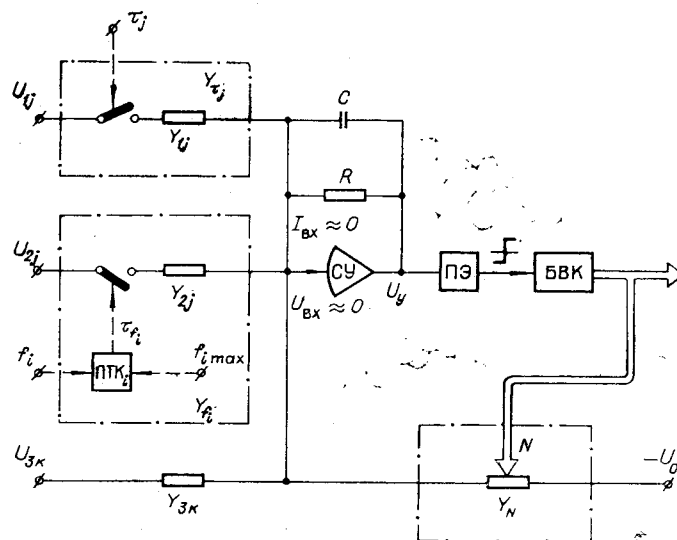
ИМПУЛЬСНО-АНАЛОГОВЫЙ КОДИРУЮЩИЙ ВЫЧИСЛИТЕЛЬНЫЙ ПРЕОБРАЗОВАТЕЛЬ

Широко распространена в технике математического приборостроения задача преобразования импульсной и непрерывной информации с выдачей результата в виде позиционного кода

$$N = N_{\max} F(\tau_j, f_i, U_{1j}, U_{2i}, U_{3k}), \quad (1)$$

$$j = \overline{1, n}; i = \overline{1, m}; k = \overline{1, s}$$

В ряде случаев может быть решена при помощи импульсно-аналогового кодирующего вычислительного преобразователя (см. рисунок), содержащего сравнивающий усилитель (СУ), пороговый элемент (ПЭ), блок выработки кода (БВК), широтно-импульсные $Y_j(\tau)$ [1], частотно-импульсные $Y_j(f)$ [2] и кодоимпульсные $Y(N)$ [3] управляемые проводимости, постоянные проводимости Y_k и RC-фильтр для выделения среднего за



период значения управляющего напряжения U_y . Напряжения постоянного тока U_{1j} , U_{2i} , U_{3k} и U_0 подаются на входы соответствующих проводимостей, а широтно-импульсные τ_j , частотно-импульсные f_i и кодоимпульсный N управляющие сигналы используются для изменения значений вышеперечисленных проводимостей в соответствии со схемой рисунка. Логические триггерные кольца (ЛТК) [2], входящие в состав управляемых проводимостей $Y_i(f)$, осуществляют линейные преобразования вида

$$\tau_i = T_i \frac{f_i}{f_{i \max}} = K_\tau f_i; \quad K_\tau = \text{const.}$$

Статическое равновесное состояние компенсационной схемы рисунка при $Y_{3k} = \text{const}$; $Y_j(\tau) = Y_{1j} \Phi_{1j}(\tau_j)$; $Y_i(f) = Y_{2i} \Phi_{2i}(f_i)$; $Y(N) = Y_0 \Phi_3(N)$ описывается уравнением

$$\sum_{j=1}^{i=n} U_{1j} Y_{1j} \Phi_{1j}(\tau_j) + \sum_{i=1}^{i=m} U_{2i} Y_{2i} \Phi_{2i}(f_i) + \sum_{k=1}^{k=s} U_{3k} Y_{3k} = U_0 Y_0 \Phi_3(N), \quad (2)$$

решение которого относительно выходного кода имеет вид

$$N = N_{\max} F \left[\frac{\sum_{j=1}^{j=n} U_{1j} Y_{1j} \Phi_{1j}(\tau_j) + \sum_{i=1}^{i=m} U_{2i} Y_{2i} \Phi_{2i}(f_i) + \sum_{k=1}^{k=s} U_{3k} Y_{3k}}{U_0 Y_0} \right], \quad (3)$$

где F — обратная функция Φ_3 .

В таблице приведены схемы наиболее распространенных, линейных и квадратичных управляемых проводимостей

$$Y_\Theta = K \Phi(\Theta),$$

где $\Theta = \frac{\tau}{T} = \frac{f}{f_{\max}} = \frac{N}{N_{\max}}$ — относительное значение управляющего сигнала.

Использование в схеме рисунка различного сочетания постоянных, линейных и квадратичных проводимостей позволяет решать широкий перечень задач кодирования и одновременной математической обработки непрерывных сигналов.

Так, например, выработка кода, пропорционального сумме произведений

$$N = N_{\max} \left(\sum_{j=1}^{j=n} A_{1j} U_{1j} \tau_j + \sum_{i=1}^{i=m} A_{2i} U_{2i} f_i + \sum_{k=1}^{k=s} A_{3k} U_{3k} \right), \quad (4)$$

осуществляется при использовании в схеме рисунка только линейных управляемых проводимостей $Y_j(\tau)$, $Y_i(f)$, $Y(N)$ и постоянных проводимостей Y_k .

Схемы и характеристики управляемых проводимостей

№ п/п	Тип проводимости $Y(\theta)$	Схема проводимости	Характеристика проводимости
1	<p>Линейная управляемая проводимость</p> <p>$Y(\theta) = Y_0(\alpha_0 + \alpha_1 \theta)$</p>		$Y_{12} = Y_{\tau} = Y_0 \left(\alpha_0 + \alpha_1 \frac{\tau}{T} \right)$
2			$Y_{12} = Y_f = Y_0 \left(\alpha_0 + \alpha_1 \frac{f}{f_{\max}} \right)$
3			$Y_{12} = Y_N = Y_0 \left(\alpha_0 + \alpha_1 \frac{N}{N_{\max}} \right)$
4	<p>Квадратичная управляемая проводимость</p> <p>$Y(\theta) = Y_0(\alpha_0 + \alpha_1 \theta + \alpha_2 \theta^2)$</p>		$Y_{12} = Y_{\tau} = Y_0 \left[\alpha_0 + \alpha_1 \frac{\tau}{T} + \alpha_2 \left(\frac{\tau}{T} \right)^2 \right]$
5		<p>Схема позиции 4, но с предварительным преобразованием $\tau \sim f$ на ЛТК</p>	$Y_{12} = Y_f = Y_0 \left[\alpha_0 + \alpha_1 \frac{f}{f_{\max}} + \alpha_2 \left(\frac{f}{f_{\max}} \right)^2 \right]$
6	<p>Широтно-кодовая управляемая проводимость</p>		$Y_{12} = Y_N = Y_0 \left[\alpha_0 + \alpha_1 \frac{N}{N_{\max}} + \alpha_2 \left(\frac{N}{N_{\max}} \right)^2 \right]$
7			$Y_{12} = Y_{\tau, N} = Y_0 \frac{\tau}{T} \frac{N}{N_{\max}}$
8	<p>Квадратичная широтно-кодовая проводимость</p>		$Y_{12} = Y_{\tau, N} = Y_0 \frac{\tau}{T} \left[1 - \left(\frac{N}{N_{\max}} \right)^2 \right]$

Реализация множительно-делительной характеристики вида

$$N = \frac{N_{\max}}{\tau_0} \left(\sum_{j=1}^{i=n} A_{1j} U_{1j} \tau_j + \sum_{i=1}^{i=m} A_{2i} U_{2i} f_i + \sum_{k=1}^{k=s} A_{3k} U_{3k} \right) \quad (5)$$

осуществляется устройством, представленным на схеме рисунка, с линейными $Y_j(\tau)$, $Y_i(f)$ и постоянными Y_k проводимостями во входной цепи и широтно-кодовой управляемой проводимостью $Y(\tau, N)$ в цепи обратной связи.

Используя во входной цепи линейные проводимости $Y_j(\tau)$, а в цепи обратной связи линейную проводимость $Y_0(\tau)$ и квадратичную широтно-кодовую управляемую проводимость $Y(\tau, N)$, получают реализацию зависимости

$$N = N_{\max} \sqrt{\frac{\sum_{j=1}^{i=n} \tau_j}{\tau_0}} \quad (6)$$

Включение во входную цепь квадратичных широтно-импульсных проводимостей $Y_j(\tau)$ и постоянной проводимости Y_0 , а в цепь обратной связи — квадратичной кодо-импульсной проводимости $Y(\tau, N)$ обеспечивает выходную характеристику

$$N = N_{\max} \sqrt{\sum_{j=1}^{i=n} A_j \tau_j^2} \quad (7)$$

Перечень выходных функциональных характеристик схемы рисунка может быть существенно расширен, если, кроме проводимостей $Y_j(\tau)$, $Y_i(f)$, $Y(N)$, $Y(\tau, N)$, указанных в таблице, использовать нелинейные управляемые проводимости с дробно-рациональными характеристиками [4]

$$Y_{\Theta} = Y_0 \frac{\sum_1^2 a_k \Theta^k}{\sum_0^2 b_k \Theta^k}$$

где $a_k = \text{const}$; $b_k = \text{const}$.

Точность и быстродействие рассматриваемой схемы импульсно-аналогового кодирующего преобразователя целиком определяются предельными характеристиками точности и быстродействия широтно-импульсных элементов, которые, как показывают исследования и опыт работы ряда коллективов [1, 2], соответствуют максимальной приведенной относительной ошибке $\delta_{\max} = 0,1\%$ и полосе входного непрерывного сигнала порядка десятков герц.

Большинство элементов и узлов импульсно-аналоговых преобразователей выполняются на основе типовых линейных и цифровых интегральных подсхем.

ЛИТЕРАТУРА

1. В. Б. Смоллов, Е. П. Угрюмов. Время-импульсные вычислительные устройства. М., «Энергия», 1969.
2. Г. О. Паламарюк. Частотно-импульсные вычислительные устройства.— В кн: Труды V Всесоюзной конференции по теории и методам математического моделирования. М., «Наука», 1969.
3. В. Б. Смоллов. Вычислительные преобразователи с цифровыми управляющими сопротивлениями. М., «Энергия», 1961.
4. В. Б. Смоллов, В. С. Фомичев. Аналого-цифровые и цифроаналоговые нелинейные вычислительные устройства. Л., «Энергия», 1974.

Поступило в редакцию 16 января 1975 г.